

ساخت سازه‌ی ژنی pBud.CE4.1 IFN β Wild Type و بررسی سطح بیان ژن اینترفرون بتای انسانی در رده‌ی سلولی HEK293 ترانسفکت شده با این سازه

راحله نوروزی^۱، دکتر زهره حجتی^۱

مقاله پژوهشی

چکیده

مقدمه: اینترفرون بتا، از جمله سایتوکاین‌های مهمی است که در پاسخ به عوامل محرك و آنتی‌ژن‌ها بیان می‌شود و در فرایندهای ایمنی و التهاب نقش دارد. در این پژوهش، ضمن کلون نمودن ژن اینترفرون بتا در وکتور pBud.CE4.1، سطح بیان این ژن در مقایسه با حالت بیان پایه در رده‌ی سلولی انسانی HEK293 با استفاده از روش (Real-time polymerase chain reaction) PCR استفاده شد.

روش‌ها: توالی ژن اینترفرون بتا با استفاده از پرایمرهای اختصاصی حاوی جایگاه برش آنزیمی KpnI و BglIII از روی وکتور pSVMdhfr حاوی این ژن تکثیر شد و سپس، در وکتور pBud.CE4.1 خطی شده با آنزیم‌های پیش‌گفته، کلون گردید. ساختار وکتور نوترکیب، با استفاده از روش هضم آنزیمی، Colony PCR و تیزین توالی، بررسی و در نهایت، به درون باکتری مستعد Escherichia coli TOP10 ترانسفورم شد. پس از تکثیر، پلاسمید نوترکیب استخراج و به رده‌ی سلولی HEK293 ترانسفکت گردید. استخراج RNA، ستر cDNA (Complementary DNA) و بررسی سطح بیان با استفاده از روش Real-time PCR صورت گرفت.

یافته‌ها: ژن اینترفرون بتا، تحت پرموتور eEf1a وکتور با موفقیت در رده‌ی سلولی HEK293 بیان شد. سطح بیان این ژن در اثر ترانسفکشن، ۷۹/۹ برابر افزایش نسبت به شاهد را نشان داد. ترانسفکت وکتور فاقد ژن، افزایش بیان ۲/۸۷ برابری را نشان داد که احتمال می‌رود، به علت ورود یک ژنوم بیگانه باشد.

نتیجه‌گیری: پروتئین‌های تولید شده در سیستم‌های پروکاریوتی، فاقد گلیکوزیلاسیون می‌باشند و در نتیجه، خواص فیزیکوشیمیایی متفاوتی نسبت به حالت طبیعی دارند. بنا بر این، بیان ژن هدف در سلول انسانی تحت پرموتور قوی وکتور انتخابی، از مزایای پژوهش حاضر است. انجام مطالعات پروتئینی در این زمینه، می‌تواند هدف مطالعات آتی باشد.

وازگان کلیدی: اینترفرون بتا، رده‌ی سلولی HEK293، وکتور pBudCE4.1، Real-time polymerase chain reaction.

ارجاع: نوروزی راحله، حجتی زهره. ساخت سازه‌ی ژنی pBud.CE4.1 IFN β Wild Type و بررسی سطح بیان ژن اینترفرون بتای انسانی در رده‌ی سلولی HEK293 ترانسفکت شده با این سازه. مجله دانشکده پزشکی اصفهان ۱۳۹۴؛ ۳۳(۳۵۴): ۱۷۰۰-۱۶۹۱.

مقدمه

اینترفرون‌ها از جمله‌ی سایتوکاین‌های طبیعی بدن می‌باشند. واژه‌ی اینترفرون فعالیت زیستی مواد

محلولی را تعریف می‌کند که در فرایند همانندسازی ویروس‌ها تداخل ایجاد می‌نمایند. اینترفرون‌ها، در پاسخ به انواع آنتی‌ژن‌ها شامل RNA ویروسی،

۱- کارشناس ارشد، گروه زیست‌شناسی، دانشکده‌ی علوم، دانشگاه اصفهان، اصفهان، ایران
۲- دانشیار، گروه زیست‌شناسی، دانشکده‌ی علوم، دانشگاه اصفهان، اصفهان، ایران

نویسنده‌ی مسؤول: دکتر زهره حجتی

Email: z.hojati@sci.ui.ac.ir

صورت دائم و اولیگومر دیده می شد که این امر، تخلیص و جداسازی ایترفرون بتا را به کاری بسیار سخت و وقت گیر تبدیل می نمود (۴-۷). به علاوه، مشخص شده است که ایترفرون بتای تولید شده به روش میکروبی، همیشه فعالیت اختصاصی پایین تری نسبت به فرم طبیعی نشان می دهد (۷). به همین منظور، در صنایع زیست دارویی، سیستم های کشت سلولی پستانداران ترجیح داده می شوند (۸). در این مطالعه، سطح بیان ژن ایترفرون بتای انسانی در رده سلولی کلیه جنین انسان ترانسفکت شده با سازه ژنی pBud.CE4.1 IFN β Wild Type Real-time polymerase chain reaction روش (Real-time PCR) سنجیده شد.

روش ها

به منظور مطالعه و بررسی میزان بیان mRNA (ایترفرون بتا، از وکتور Messenger RNA) حاوی ژن ایترفرون بتای انسانی به عنوان الگو جهت انجام PCR استفاده گردید. پرایمرهای اختصاصی با استفاده از نرم افزار Oligo7 (Molecular biology insight, USA) به نحوی طراحی شدند که امکان تکثیر ناحیه کد کننده ژن ایترفرون بتای انسانی از روی وکتور pSVMdhfr فراهم شود.

در پرایمرهای F و R، توالی مربوط به جایگاه شناسایی آنزیمهای KpnI و BglII به منظور کلون نمودن قطعه در وکتور بیانی pBud.CE4.1 قرار داده شد. استفاده از نوکلئوتیدهای GG پیش از سایت برشی KpnI در پرایم رفت و نوکلئوتیدهای TC

تولیدات باکتریایی و پروتئین های توموری بیان می گردد (۱). به طور کلی، ایترفرون ها را بر اساس توالی اسید آمینه ای به سه گروه تقسیم می کنند: گروه I شامل ایترفرون های α , β , δ , ϵ , ω , κ و τ می باشد؛ در حالی که گروه II تنها واجد یک عضو به نام ایترفرون γ است. گروه III ایترفرون ها به تازگی شناسایی شده اند و شامل اعضای $\lambda 1$ و $\lambda 3$ می باشند و در پاسخ مستقیم به عفونت های ویروسی نقش مهمی ایفا می کنند (۲).

دسته بندی دیگر ایترفرون ها بر اساس منشأ سلولی آنها است. بر این اساس، ایترفرون ها را می توان به سه گروه تقسیم بندی نمود. ایترفرون α با منشأ سلول های لوکوسیتی (به آن ایترفرون لوکوسیتی گفته می شود)، ایترفرون β با منشأ سلول های فیبروبلاستی (به آن ایترفرون فیبروبلاستی گفته می شود) و ایترفرون γ با منشأ سلول های لفوسیتی (به آن ایترفرون ایمنی گفته می شود)، در این تقسیم بندی جای می گیرند (۳-۴).

ایترفرون α و β در گروه I خانواده ایترفرون ها قرار دارند و نقش مهمی در سرکوب عفونت های ویروسی و التهاب ایفا می کنند (۵).

امروزه، دو راهبرد بسیار متفاوت برای تولید اشکال دارویی ایترفرون بتای نوترکیب به کار گرفته شده است. فرم Interferon beta-1a (IFN β -1a) نام CHO کلی داروهایی است که در رده سلولی Chinese hamster ovary (IFN β -Ch) تولید می شود و IFN β -1b نام کلی داروهایی است که با استفاده از سیستم E. coli (Escherichia coli) به تولید می رسد. تولید ایترفرون بتای نوترکیب، در سلول های E. coli در ابتدا با مشکلاتی همراه بوده است؛ از جمله این که ایترفرون بتای حاصل از این روش، در محیط به

شدهی زیر با پروتکل دمایی ۹۵ °C به مدت ۶ دقیقه، و به دنبال آن ۳۵ چرخه شامل ۹۴ °C به مدت ۳۰ ثانیه، ۶۰ °C به مدت ۳۰ ثانیه و ۷۲ °C به مدت ۵۰ ثانیه و یک چرخهٔ نهایی ۷۲ °C به مدت ۱۰ دقیقه انجام گرفت.

FP IFN β :

5'-GGGGTACCGCCACCATGACCAACAAGTGT-3'

RP IFN β :

5'-GAAGATCTCGTTCGGAGGTAACCTG -3'

قطعه‌ی تکثیر شده با استفاده از کیت استخراج از ژل (Thermo scientific, USA) خالص‌سازی گردید. هم‌زمان با آن، وکتور pBud.CE4.1 با آنزیم‌های KpnI و BglIII خطاً شد. در نهایت، قطعه‌ی تکثیر شده درون وکتور خطی، توسط آنزیم T4 لیگاز کلون گردید.

محصول واکنش اتصال به روش استاندارد شوک حرارتی به داخل باکتری E. coli.TOP10 ترانسفورم شد. انتخاب کلونی‌های حاوی وکتور نوترکیب بر روی پلیت LBA دارای غلظت نهایی ۵۰ $\mu\text{g}/\text{ml}$ آنتی‌بیوتیک زئوسین انجام گرفت. کلونی‌های به دست آمده به روش Colony PCR غربال‌گری شدند و سپس از کلونی‌های مثبت، استخراج پلاسمید صورت گرفت.

هضم آنزیمی امتحانی با آنزیم‌های KpnI و BglIII و نیز تعیین توالی DNA به کمک پرایمرهای عمومی Bgh Rev (فزان‌بیوتک، ایران) انجام شد. پس از آن، سازه‌ی نوترکیب به کمک کیت Lipofectamine® (Invitrogen, USA) LTX plus™ reagent سلول‌های HEK293 ترانسفکت گردید. ۴۸ ساعت پس از ترانسفکشن، سلول‌ها با استفاده از بافر PBS

پس از جایگاه برشی آنزیم BglIII در پرایمر برگشت، امکان شناسایی هر چه بیشتر جایگاه برش توسط آنزیم را فراهم می‌نمود. طراحی پرایمر برگشت به نحوی بود که در آن، کدون ختم TGA با هدف فراهم شدن امکان ردیابی پروتئین تولید شده با استفاده از آنتی‌بادی HisTag حذف گردید. بدین منظور و به دنبال حفظ قالب خوانشی ژن و بیان توالی هیستیدینی، دو نوکلئوتید GA پیش از سایت برشی آنزیم KpnI قرار داده شد.

یکی از عوامل مهمی که در میزان ترجمه تأثیرگذار است، وجود توالی مناسب احاطهٔ کنندهٔ کدون شروع ترجمه یا همان توالی کزاک می‌باشد؛ به طوری که مقدار پروتئین سنتز شده از یک mRNA وابسته به قدرت توالی کزاک آن می‌باشد. تغییر توالی کزاک به منظور نزدیک نمودن آن به فرم ثابت، می‌تواند به افزایش سطح ترجمه کمک نماید. توالی کزاک در ژن ایترفرون بتا در چندین جایگاه متفاوت از توالی ثابت تعریف شده است. توالی ثابت کزاک به صورت GCCRCCAUGG است که در آن، R معرف یک باز پورینی است. توالی کزاک ژن ایترفرون بتا به صورت GUCAACAUAGA می‌باشد که به منظور نزدیک نمودن این توالی به توالی ثابت کزاک، دو نوکلئوتید موجود در مناطق ۲-۵- (با توجه به جایگاه آغاز رونویسی) باید به باز C تغییر یابد. بدین جهت، توالی نوکلئوتیدی GCCACCATGACC مربوط به فرم حفاظت شده‌ی کزاک در پرایمر رفت پس از سایت برشی KpnI قرار داده شد. پرایمرهای مورد استفاده به صورت پودر یوفیلیزه (ژن فن‌آوران کوثر، ایران) تهیه گردید. واکنش PCR با استفاده از پرایمرهای طراحی

دمای اتصال پرایمیرها استفاده گردید. پس از تعیین بهترین شرایط جهت تکثیر، واکنش Real-time PCR انجام پذیرفت و نتایج آن به صورت منحنی‌های استاندارد، ذوب و تکثیر مورد بررسی قرار گرفت. در نهایت، به منظور بررسی دقیق نتایج واکنش Real-time PCR اطمینان از تشکیل باندهای مناسب و عدم تشکیل باند پرایمیر دایمر، نمونه‌ها بر روی ژل آگارز ۲ درصد بررسی شد.

یافته‌ها

pBud.CE4.1IFN β

PCR ژن ایترافرون بتا بر روی وکتور pSVMdhfr⁻ حاوی ژن، با استفاده از پرایمیرهای مورد نظر انجام گرفت و محصولی با طول ۵۶۴ جفت باز تکثیر شد (شکل ۱).

پس از انجام فرایند کلونینگ، هضم آنزیمی با دو آنزیم KpnI و BglIII بر روی وکتور نوترکیب صورت گرفت و خروج قطعه‌ی ۵۶۴ جفت بازی ایترافرون بتا، ورود صحیح قطعه در وکتور را تأیید نمود (شکل ۲).

نتایج ترانسفکت سازه‌ی *pBud.CE4.1IFN β* به HEK293 رده‌ی سلولی

پلاسمید نوترکیب به درون رده‌ی سلولی HEK293 به کمک کیت لیپوفکتامین (Invitrogen, USA) ترانسفکت گردید. علاوه بر آن، در یک واکنش جداگانه، وکتور فاقد قطعه‌ی وارد شونده، به درون سلول‌ها ترانسفکت شد. در فلاسک دیگر، سلول‌های HEK293 ترانسفکت نشده به عنوان سلول‌های شاهد کشت داده شد. شکل ۳، نشان دهنده‌ی RNA استخراج شده از کشت سلولی می‌باشد.

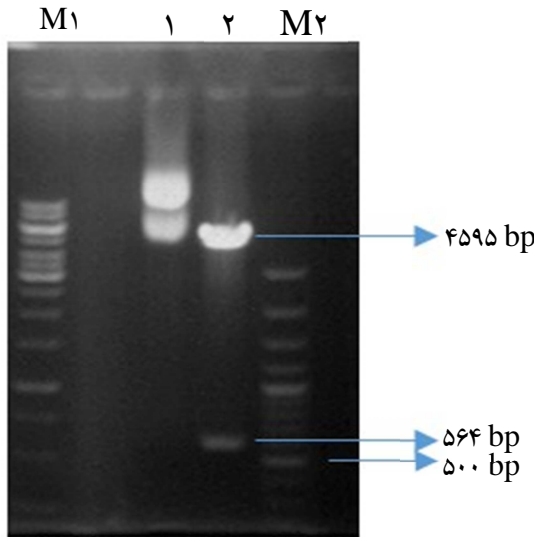
(Phosphate-buffered saline) شسته و سپس به کمک تریپسین ۰/۰۵ درصد از سطح فلاسک جدا شدن و محیط کشت حاوی سلول‌ها به یک فالکون منتقل گردید. سانتریفیوژ محیط کشت سلولی با دور ۱۷۰۰ rpm به مدت ۵ دقیقه انجام شد.

پس از تهیه‌ی رسوب سلولی، مراحل مختلف استخراج RNA طبق دستورالعمل کیت کیاژن انجام گرفت. به منظور بررسی کمی RNA استخراج شده، از دستگاه اسپکتروفوتومتر استفاده گردید. به منظور تأیید صحت و کیفیت استخراج، نمونه‌های در RNA چاهک ژل آگارز ۲ درصد بارگذاری شد. واکنش DNaseI به کمک کیت DNaseI (Thermo scientific, USA) تیمار cDNA صورت گرفت. جهت بررسی آلدگی‌های DNA صورت گرفت. جهت بررسی کمی بیان ژن، با استفاده از حجمی معادل ۲ μ g RNA، ستز cDNA صورت گرفت.

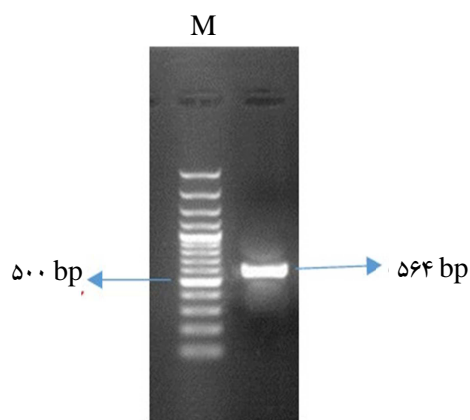
واکنش ستز cDNA با ترکیبات ۴ μ l بافر X آنزیم RT ۱ از سه ماده‌ی مهار کننده‌ی RNase، آنزیم RT، رندوم هگزامر پرایمیر و ۲ μ l (Deoxynucleotide triphosphates) dNTP mix ۱۰ mM و ۲ μ g RNA از ۱۰ انجام و حجم کلی واکنش به کمک آب فاقد نوکلئاز به ۲۰ μ l رسانده شد.

در مرحله‌ی بعد، پرایمیرهای اختصاصی برای ژن ایترافرون بتا و ژن خانه‌گردان eEf1a1 جهت واکنش Real-time PCR با استفاده از نرم‌افزار Oligo7 و AlleleID8.7 طراحی گردید. ستز cDNA استخراج شده، در Real-time PCR استفاده شد تا در صورت مشاهده‌ی باند‌های مورد نظر، کارآمدی ساخت cDNA مورد تأیید قرار گیرد. در ابتدا از گرادیانت دمایی در بازه‌ی ۵۰-۵۷ درجه‌ی سانتی‌گراد به منظور تنظیم

ژن هدف و ژن خانه‌گردان را طی واکنش Real-time PCR نشان می‌دهد.



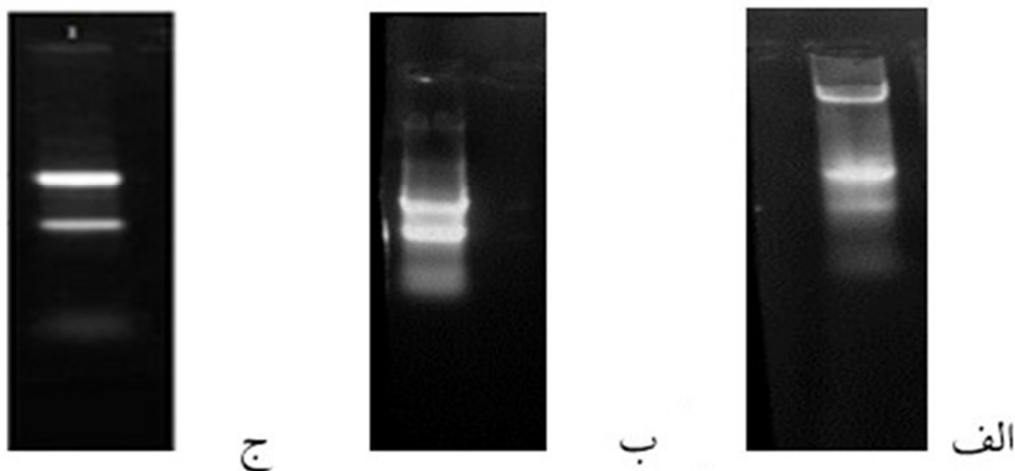
شکل ۲. هضم آنزیمی دوگانه بر روی پلاسمید نوترکیب ستون ۱ شاهد منفی (وکتور برش نخوده) و ستون ۲ وکتور خطی شده به طول ۴۵۹۵ جفت باز و ژن ایترفرون بتا به طول ۵۶۴ جفت باز را نشان می‌دهد. M₁ اندازه نمای ۱ کیلو جفت بازی و M₂ اندازه نمای ۱۰۰ جفت بازی (Fermentas) است.



شکل ۱. نتیجه‌ی واکنش Polymerase chain reaction (PCR) بر روی وکتور pSVMdhfr-IFN β جهت تکثیر ژن ایترفرون بتا. قطعه‌ی ۵۶۴ جفت بازی ایترفرون بتا با موفقیت از روی وکتور الگو تکثیر گردید. M نشان دهنده اندازه‌ی نمای ۱۰۰ جفت بازی (Fermentas) می‌باشد.

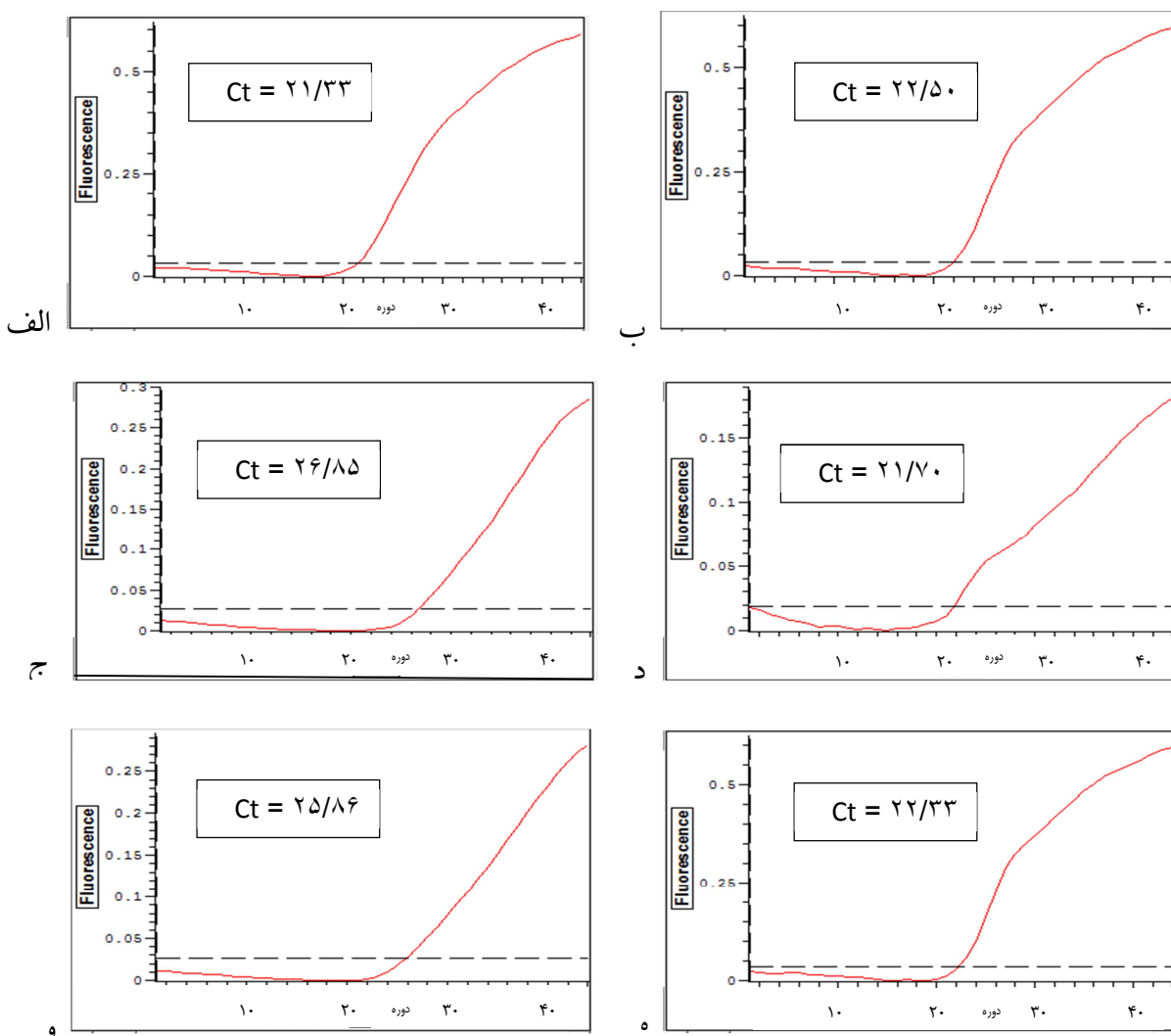
نتایج Real-time PCR

انجام واکنش گرادیانت PCR دمای ۵۵ °C را به عنوان دمای بهینه جهت تکثیر هم‌زمان دو ژن IFN β و cDNA eEf1a1 تعیین نمود. شکل ۴، منحنی تکثیر



شکل ۳. استخراج RNA از سلول‌های ترانسفکت شده و سلول‌های ترانسفکت نشده (شاهد).

الف) RNA استخراج شده از سلول‌های HEK293 ترانسفکت شده با وکتور نوترکیب واحد ژن ایترفرون بتا، ب) RNA استخراج شده از سلول‌های HEK293 ترانسفکت شده با وکتور فاقد قطعه‌ی وارد شونده، ج) RNA استخراج شده از سلول‌های HEK293 ترانسفکت نشده. پس از الکتروفورز نمونه‌ها در ژل ۲ درصد TAE (Tris base, acetic acid, EDTA) TAE با ولتاژ ۷۰ به مدت ۳۰ دقیقه، در تمامی نمونه‌ها دو باند در ژل دیده شد. باند بالا مربوط به زیر واحد ۲۸ S و باند پایین مربوط به زیر واحد ۱۸ S ریبوزومی می‌باشد.



شکل ۴. منحنی تکثیر نمونه‌ی ایترفرون بتا در دستگاه Real-time PCR

(الف) منحنی تکثیر IFN β cDNA بر روی eEf1a1 (complementary DNA) ژن شاهد (ب) منحنی تکثیر ژن شاهد eEf1a1 بر روی IFN β cDNA حاصل از سلول‌های ترانسفکت نشده، (د) منحنی تکثیر ژن شاهد eEf1a1 بر روی IFN β cDNA حاصل از سلول‌های ترانسفکت شده با وکتور خالی، (ه) منحنی تکثیر ژن eEf1a1 بر روی IFN β cDNA حاصل از سلول‌های ترانسفکت شده با وکتور خالی



شکل ۵. نمودار مقایسه‌ی بیان ژن ایترفرون بتای نوترکیب در رده‌ی سلولی HEK293

تزریق مداوم این دارو، باعث تولید آنتی بادی های خشی کننده و غیر خشی کننده علیه β IFN می شود که باعث مهار اثرات بیولوژیکی و کاهش اثربخشی دارو می گردد. این عوامل باعث پایین آمدن کارآیی درمان و ایجاد اثرات جانبی مثل عالیم شبه آنفولانزا، تخریب کبدی، کاهش گلبول های سفید و پلاکت ها، افسردگی و سردرد در فرد بیمار می شود (۱۳).

برای غلبه بر این مشکلات، می توان از میزان های بیانی دیگر مثل مخمرها، قارچ های رشته ای، سلول های حشرات و سلول های گیاهی استفاده کرد، اما این میزان ها نیز به دلیل ایجاد الگوی قندی متفاوت با انسان کمتر مورد استفاده قرار می گیرند (۱۴-۱۶).

RDE1 سلولی مشتق شده از سلول های HEK293 کلیوی جنین انسان است که در محیط کشت سلولی رشد کرده و از طریق ترانسفکت شدن با DNA آدنوویروس نوع ۵، به سلول های سرطانی تبدیل شده است. این سلول ها از نظر مورفولوژیکی به سلول های اپی تلیال شباهت دارند و از ۲۵ سال پیش به عنوان یکی از بهترین RDE های سلولی به منظور بیان پروتئین های نوترکیب، تولید انواع وکتور های ویروسی و واکسن ها به هر دو صورت بیان گذرا و پایدار شناخته می شوند (۱۷-۱۸). از این رو، در این مطالعه از سلول های HEK293 جهت بیان ایترفرون بتای نوترکیب استفاده گردید.

در پژوهش حاضر، بیان پلاسمید نوترکیب حاوی ژن ایترفرون بتا در RDE1 سلولی HEK293 با استفاده از روش Real-time PCR مورد بررسی قرار گرفت. با بررسی منحنی تکثیر ژن IFN β و ژن خانه گردان مطابق β IFN-1a باشد (۱۹).

بحث

سیتوکاین ها، عوامل فعال سلولی هستند که به صورت پایدار توسط انواع مختلف سلول ها در پاسخ به سطح وسیعی از محرک ها (نه تنها آنتی ژن ها) تولید می شوند. ویژگی قابل توجه سیتوکاین ها، اثر بر مکانیسم های سلولی و ایجاد تغییرات رفتاری در سلول های هدف تحت شرایط خاص است (۹). ایترفرون ها، به عنوان اولین گروه از سیتوکاین ها معرفی شدند. ایترفرون بتای انسانی (IFN- β) گلیکوپروتئینی است که در پاسخ به عفونت های ویروسی در سلول های فیروبلاست به صورت گستردگی تولید می شود؛ از این رو، به آن ایترفرون فیروblastی گفته می شود.

ایترفرون بتا در پژوهشی به صورت گستردگی برای درمان و بهبود بیماری های خود اینمی از جمله MS (Multiple sclerosis)، مهار تکثیر سلولی و مهار رگزایی و در نتیجه درمان سرطان و نیز درمان عفونت های ویروسی مورد استفاده قرار می گیرد (۱۰). دو آنالوگ ایترفرون بتا به عنوان دارو در درمان بیماری MS استفاده می شود (۱۱). نوع اول، فرم غیر گلیکوزیله پروتئین تحت عنوان IFN β -1b است که در باکتری E. coli بیان شده و امروزه در بازار تحت نام تجاری BetaSeron موجود است. فرم گلیکوزیله ای این پروتئین، IFN β -1a با نام تجاری Avonex و همچنین Rebif است که هر دوی آنها در سلول های CHO بیان می شوند. β IFN-1b تولیدی در باکتری، کارآیی پایین تری نسبت به فرم گلیکوزیله دارد؛ به طوری که برای به دست آوردن کارآیی مطابق β IFN-1a، نیاز به تجویز دوز بالاتری از آن می باشد (۱۲).

عنوان ژنوم ویروسی شناسایی کرده و اقدام به تولید ایترفرون بتا -نوعی سیتوکین- بر علیه ژنوم بیگانه نموده است.

در این پژوهش، سطح بیان ژن ایترفرون بتا به واسطهٔ کلونینگ در وکتور pBud.CE4.1 تحت پروموتور قوی eEf1a تا حد چشمگیری افزایش یافت. بنا بر این، ردهٔ سلولی و نیز وکتور انتخابی، شرایط مناسبی جهت تولید پروتئین دارویی مورد نظر را دارا بودند. همچنین، تغییر توالی کوزاک ژن ایترفرون بتا و تبدیل آن به فرم ثابت و حفاظت شده، تأثیر چشمگیری در افزایش سطح بیان ژن داشت. با توجه به بیان گذرای این پروتئین در سلول‌های فیبروبلاستی، نیاز به تولید هر چه بیشتر پروتئین ایترفرون احساس می‌گردد.

تشکر و قدردانی

این مقاله بر گرفته از پایان‌نامهٔ کارشناسی ارشد و نیز طرح تحقیقاتی به شمارهٔ ۹۲۰۴۲۸۵۶ است. بدین وسیله از گروه زیست‌شناسی دانشگاه اصفهان و نیز سازمان حمایت از پژوهشگران و فن‌آوران ریاست جمهوری به خاطر فراهم نمودن امکانات و تجهیزات این مطالعه صمیمانه سپاسگزاری می‌گردد.

آوردن میانگین Ct (Cycle threshold) در سه بار تکرار واکنش برای نمونهٔ مورد نظر، امکان محاسبه و مقایسهٔ بیان ژن IFN β در نمونهٔ ترانسفکت شده و ترانسفکت نشده فراهم گردید. بدین منظور، از رابطهٔ $RQ = 2^{-\Delta Ct}$ استفاده شد (۱۹).

$$2^{-\Delta Ct} = \frac{2^{[-Ct(IFN\beta)-Ct(eEf1\alpha1)] Transfected\ cells}}{2^{[-Ct(IFN\beta)-Ct(eEf1\alpha1)] Un-transfected\ cells}}$$

در این روش، پس از به دست آوردن میانگین Ct اختلاف میان Ct ژن IFN β و eEf1 $\alpha 1$ در هر نمونه به دست می‌آید (ΔCt). در مرحلهٔ بعد، به دست آمده برای نمونه از ΔCt نمونهٔ شاهد که سلول ترانسفکت نشده است، کسر می‌گردد تا عدد مربوط به دست آید. بر اساس محاسبات انجام ۷۹/۹ گرفته، بیان ایترفرون بتا در اثر ترانسفکشن برابر افزایش را نسبت به بیان پایه در ردهٔ سلولی HEK293 نشان می‌دهد.

علاوه بر آن، ترانسفکت نمودن وکتور خالی، سبب افزایش بیان پایه از ژن ایترفرون بتا به میزان ۲/۸۷ برابر نسبت به حالت ترانسفکت نشده در این ردهٔ سلولی می‌شود (شکل ۵). به عنوان یک نتیجه، می‌توان چنین توجیه کرد که وکتور انتخابی دارای (Cytomegalovirus) CMV پروموتور ویروسی می‌باشد که در اثر ترانسفکشن، سلول هدف آن را به

References

- Chelbi-Alix MK, Wietzerbin J. Interferon, a growing cytokine family: 50 years of interferon research. Biochimie 2007; 89(6-7): 713-8.
- Pestka S, Krause CD, Walter MR. Interferons, interferon-like cytokines, and their receptors. Immunol Rev 2004; 202: 8-32.
- Pang KR, Wu JJ, Huang DB, Tyring SK, Baron S. Biological and clinical basis for molecular studies of interferons. Methods Mol Med 2005; 116: 1-23.
- Zago P, Baralle M, Ayala YM, Skoko N, Zacchigna S, Buratti E, et al. Improving human interferon-beta production in mammalian cell lines by insertion of an intronic sequence within its naturally uninterrupted gene. Biotechnol Appl Biochem 2009; 52(Pt 3): 191-8.
- Friedman RM. Clinical uses of interferons. Br J Clin Pharmacol 2008; 65(2): 158-62.

6. Mark DF, Lin LS, Lu SDY. Human recombinant cysteine depleted interferon- β muteins [Google Patent: US4588585A]. 1986.
7. Runkel L, Meier W, Pepinsky RB, Karpusas M, Whitty A, Kimball K, et al. Structural and functional differences between glycosylated and non-glycosylated forms of human interferon-beta (IFN-beta). *Pharm Res* 1998; 15(4): 641-9.
8. Hossler P, Khattak SF, Li ZJ. Optimal and consistent protein glycosylation in mammalian cell culture. *Glycobiology* 2009; 19(9): 936-49.
9. Morris A, Zvetkova I. Cytokine research: the interferon paradigm. *J Clin Pathol* 1997; 50(8): 635-9.
10. Pestka S, Baron S. Definition and classification of the interferons. *Methods Enzymol* 1981; 78(Pt A): 3-14.
11. Meyer O. Interferons and autoimmune disorders. *Joint Bone Spine* 2009; 76(5): 464-73.
12. Bertolotto A, Deisenhammer F, Gallo P, Solberg SP. Immunogenicity of interferon beta: differences among products. *J Neurol* 2004; 251(Suppl 2): II15-II24.
13. Giovannoni G, Munschauer FE, III, Deisenhammer F. Neutralising antibodies to interferon beta during the treatment of multiple sclerosis. *J Neurol Neurosurg Psychiatry* 2002; 73(5): 465-9.
14. Skoko N, Argamante B, Grujicic NK, Tisminetzky SG, Glisin V, Ljubijankic G. Expression and characterization of human interferon-beta1 in the methylotrophic yeast *Pichia pastoris*. *Biotechnol Appl Biochem* 2003; 38(Pt 3): 257-65.
15. Smith GE, Summers MD, Fraser MJ. Production of human beta interferon in insect cells infected with a baculovirus expression vector. *Mol Cell Biol* 1983; 3(12): 2156-65.
16. Squires CH. Human interferon beta-1b production in *Pseudomonas fluorescens*. *BioProcess International* 2010; 8(7): 132.
17. Amir-Kalvagh P, Ebtekar M, Azadmanesh K, Hartoonian C, Mahdavi M. Cloning of human Ifn λ -1 (IL-29) from monocyte derived dcs and its expression in Hek 293 T. *J Arak Univ Med Sci* 2011; 14(57): 69-78. [In Persian].
18. Thomas P, Smart TG. HEK293 cell line: a vehicle for the expression of recombinant proteins. *J Pharmacol Toxicol Methods* 2005; 51(3): 187-200.
19. Pfaffl MV. Quantification strategies in real-time PCR. In: Bustin SA, editor. A-Z of quantitative PCR. La Jolla CA: International University Line; 2004. p. 87-112.

Construction of pBud.CE4.1 IFN β (Human Beta Interferon) and Analysis of its Expression Level in Transfected HEK293 Cell via This Construct

Raheleh Norouzi MSc¹, Zohreh Hojati PhD²

Original Article

Abstract

Background: Interferon beta (IFN β) is one of the important cytokines expressed in response to stimulating factors such as antigens and plays roles in immunity and inflammatory process. In present study, the expression level of IFN β -1a was examined in HEK293 cell line using real-time polymerase chain reaction (Real-Time PCR).

Methods: IFN β gene sequence was amplified using specific primers contained KpnI and BglII restriction site from pSVMdhfr-IFN β plasmid as template. It was cloned in similarly digested pBud.CE4.1 linear vector. Construction of recombinant plasmid was verified via restriction fragment length polymorphism (RFLP) analysis, colony PCR and gene sequencing. Recombinant plasmid was transformed into competent Escherichia coli Top10 cells finally. After amplification, recombinant plasmid was purified and transfected into HEK293. At last, RNA extraction, cDNA synthesis and analysis of expression level of gene were performed using Real-Time PCR method.

Findings: IFN β gene was expressed under eEf1a promoter in HEK293 successfully. The expression level of target gene was increased 79.9 times in comparison with the control via transfection. Transfection of null vector showed 2.87 times elevation of target gene expression in response to the alien genome entered into the cell.

Conclusion: The proteins produced in prokaryotic systems were non-glycosylated thus they had different physicochemical properties in comparison with the natural form. So, the production of IFN β protein in human cell line under strong promoter of selected vector is one of the advantages of this research. Protein studies in this field are targeted for the future studies.

Keywords: HEK293 cell line, Interferon beta, pBud.CE4.1 vector, Real-time polymerase chain reaction

Citation: Norouzi R, Hojati Z. Construction of pBud.CE4.1 IFN β (Human Beta Interferon) and Analysis of its Expression Level in Transfected HEK293 Cell via This Construct. J Isfahan Med Sch 2015; 33(354): 1691-700

1- Department of Biology, School of Science, University of Isfahan, Isfahan, Iran

2- Associate Professor, Department of Biology, School of Science, University of Isfahan, Isfahan, Iran

Corresponding Author: Zohreh Hojati PhD, Email: z.hojati@sci.ui.ac.ir